

I-187 吊橋架設時ににおける不安定架構の大変形解析

(株) 宮地鉄工所 正員 後藤 茂夫
 (株) 宮地鉄工所 正員 O.和田 忠治
 (株) 宮地鉄工所 前田 武夫

1. まえがき

架設時における吊橋は、微小変形理論的に不安定であり、大変形挙動をする。ここでは著者の非線型有限変形法を基礎理論にし、吊橋の各種の架設状態を解析しようとするものである。

2. 仮定

吊橋を構成する各部材の応力、ひずみ状態は弾性域をこえることはないが、吊橋全体でみると、もはや有限変形とは呼べない大変形（節点移動量が大）であると考える。ただし、今回は実用的観点から大変形挙動は、主ケーブルのみと考え、さしに主ケーブルは節点間で直線状をなすものとする。

応力変形を求める架設時点では、補剛げたは吊材の理論的な取付位置に結合されるものとする。

3. 理論の概要

（図-1）の単純なモデルについて説明する。

（a）は、主ケーブルおよび吊材の初期状態。（b）は、無応力状態の補剛げた形状（製作モリのまゝ）とする。

いま、ある架設段階、たとえば、 $i \sim k$ 間の節点間の補剛げたが吊材にとりつけられ、その向のけたが節点で剛接された状態と等価な状態を（a）、（b）を用いて作り出すことにすれば、

i) まず、（b）の $i \sim k$ 区間に外の全節点をすべてヒンジとする。

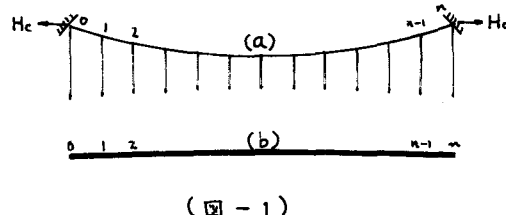
ii) つぎに、このけたを（a）の吊材下端（所定の補剛げた取付位置）の対応点にとりつける。

iii) $i \sim k$ 間に所定の補剛げた自重および架設機材などの架設荷重を作用させる。

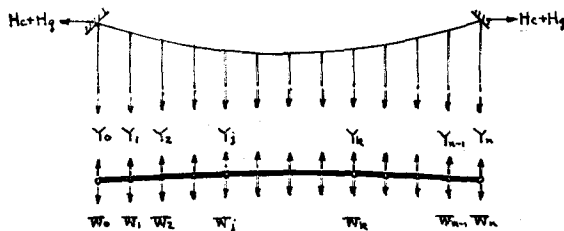
という操作をすることになる。

もちろん、（a）の吊材下端の示す形状は、（b）の補剛げた形状とは、喰い違いがあるため、 $i \sim k$ 間の節点の取り付けに際しては、若干の応力が導入されることになる。また、つぎの架設段階へ移行する前段として、これにつぎの架設ブロックが烹補剛げたより下げられた状態が考えられるが、この場合には前記の状態に、当該節点をヒンジのまゝとし、單に新たな自重のみを追加すればよいことになる。

以上のように考えた場合、構造系（a）と（b）は、共通の不静止力 Y_0, Y_1, \dots, Y_n （図-2）を介



(図-1)



(図-2)

して一体化される。こうして、(図-1)の(a)と(b)は、それぞれの初期形状の差による相対隙間、量を0とするような変形を生ずる。

二つ目の主ケーブル節点の水平変位ベクトルを \mathbf{x} 、垂直変位ベクトルを \mathbf{y} 、および補剛げた節点の垂直変位ベクトルを \mathbf{y}' として、節点荷重と節点変位との関係を表わす基礎方程式をつきのようにかくことにする。

$$A\mathbf{x} + D\mathbf{y} = \mathbf{x} + \mathbf{x}_t \quad (1)$$

$$C\mathbf{x} + B\mathbf{y} = \mathbf{y} + \mathbf{y}_t \quad (2)$$

A , B , C , D は、正方対称な3連マトリックスであり、 \mathbf{y} と \mathbf{y}' は等しくはならぬ。 \mathbf{x} は水平荷重項であり、曲げ剛性をもつ塔位置のほか通常は0である。

中間主塔などの処理は、換算バネ係数を用い、これがマトリックスの対応する対角要素に加えられて、 \mathbf{x} には未知項はなくなっているものとする。

$\mathbf{x} \sim \mathbf{d}$ の各マトリックスの内容は、

$$B(a) = \begin{bmatrix} a_1 + a_2 & -a_2 \\ -a_2 & a_2 + a_3 - a_3 \\ \vdots & \vdots \\ -a_n & a_n + a_{n+1} \end{bmatrix} \quad (3)$$

とおひこ

$$\left. \begin{array}{l} A = B(a) + D \\ B = B(b) \\ C = B(c) \\ D = B(d) \end{array} \right\} \quad (4)$$

また

$$\begin{aligned} a_i &= K_i \left\{ \alpha_i^2 + \frac{\alpha_i(\chi_i - \chi_{i-1})}{2l_i} \right\} + \mu_i \\ b_i &= K_i \left\{ \beta_i^2 + \frac{\beta_i(\gamma_i - \gamma_{i-1})}{2l_i} \right\} + \mu_i \\ c_i &= K_i \left\{ \alpha_i \beta_i + \frac{\beta_i(\chi_i - \chi_{i-1})}{2l_i} \right\} \\ d_i &= K_i \left\{ \alpha_i \beta_i + \frac{\alpha_i(\gamma_i - \gamma_{i-1})}{2l_i} \right\} \\ K_i &= \chi_i (F_i - M_i) \end{aligned}$$

$\chi = \chi'$ 、 α_i は方向余弦、 β_i はバネ係数、 $M_i = \frac{H_i}{\chi_i - \chi_{i-1}}$ 、 $F_i = E_c A_c / l_i$ である。

区間を表わす指標 i は、 $i-1$ を意味する。また \mathbf{x}_t 、 \mathbf{y}_t などは、温度荷重項であり既知とする。したがって、 \mathbf{y} のみが、吊材を介して主ケーブルへ伝えられる未知垂直荷重項となる。

つきに、補剛げたに関する、格間長入 t_i 、曲げ剛性 EI_i として

$$t_i = \frac{\lambda_i}{6EI_i}, \quad \lambda_i = \frac{1}{\chi_i}$$

よりなる3連マトリックス \mathbf{t} 、 \mathbf{y} を

$$\mathbf{t} = \begin{bmatrix} 2(t_1+t_2) & t_2 \\ t_2 & 2(t_2+t_3) - t_3 \\ \vdots & \vdots \\ t_{n-1} & 2(t_{n-1}+t_n) \end{bmatrix}, \quad \mathbf{y} = \begin{bmatrix} -\gamma_1 & \gamma_1 + \gamma_2 & -\gamma_2 \\ -\gamma_2 & \gamma_2 + \gamma_3 - \gamma_3 \\ \vdots & \vdots \\ -\gamma_{n-1} & \gamma_{n-1} + \gamma_n & -\gamma_n \end{bmatrix} \quad (5)$$

と定義すれば、曲げモーメント M_1, M_2, \dots, M_{n-1} よりなる列ベクトル \mathbf{M} と、 t_i から $\gamma_0, \gamma_1, \dots, \gamma_n$

よりなる列ベクトル η' との間に、

$$\theta^* M = \nabla - Y \quad (7)$$

$$t M = \theta \eta' \quad (8)$$

なる関係がある。

架設時の条件により、 M はつねに 0 となる要素をいくつか有しており、このための条件マトリックス、すなわち、 $n-1$ 次の単位マトリックスにおいて、補剛げ下中間節点のヒンジ点に対応する単位要素を 0 とみきかえたものを \bar{M} 、その補数マトリックスを $\bar{\eta}'$ として、(7) (8) に代入すれば

$$\eta = (\bar{M} + i \theta \bar{\eta}')^{-1} \bar{\eta} \quad (9)$$

$$G = \theta^* \bar{M} \eta \quad (10)$$

となる。

$$G \eta' = \nabla - Y \quad (11)$$

が得られる。

つぎに、初期形状における吊材下端と製作形状における補剛げた節点との喫ひ違ひ量ベクトルを
 $\Delta \theta = [\Delta \theta_0 \Delta \theta_1 \dots \Delta \theta_m]^T \quad (12)$

とする。

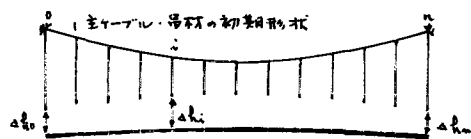
このベクトルの時は、(図-3) の補剛げたが、幾何学的な線型移動（平行移動および回転移動）することによる変更を加えても、解に与える効果は不变である。すなわち、無数にある n 節の組合せのうち、任意の一組をとればよいことになる。このことは、一つの吊橋においては、すべての架設段階における $\Delta \theta$ に共通のものを用いてよいことを示している。

さて、主マトリックスと補剛げた間の節点変位の関係は、両系の一體化により、次のように表わせる。

$$\eta' = \eta - \Delta \theta + G Y + \Delta \theta t \quad (13)$$

ここに、 $\Delta \theta$ は温度による吊材の自由伸縮量による列ベクトル、 t は吊材長を l_{hi} 、伸縮剛性を $E_h A_{hi}$ としたとき、

$$t_i = \frac{l_{hi}}{E_h A_{hi}}$$



無応力時補剛げた形状

(図-3)

要素とする対角マトリックス、すなわち、 θ は、

軸力による吊材の伸び量を表す列ベクトルである。

吊材のない節点がある場合にも適用するため、 θ の逆マトリックス θ^{-1} を用ひて、

$$R \eta' = R(\eta - \Delta \theta) + Y + R \theta t \quad (14)$$

とし、(11) (13) より η' を消去して Y を求めれば、

$$Y = \nabla' - G'(\eta - \Delta \theta + \Delta \theta t) \quad (15)$$

が得られる。

$$z = z'$$

$$W' = R(R + G)^{-1} \nabla \quad (16)$$

$$G' = R(R + G)^{-1} G \quad (17)$$

である。

もちろん、 G は単位ではデラミナントが0となるが G を加えることにより正則となり、 G' は対称マトリックスとなる。

吊材の弾性伸縮を無視すれば

$$W' = W, \quad G' = G$$

である。

なお、今回は、吊材の傾斜の影響は無視しているので、補剛された水平変位は、構造解析上不要となる。

以上により、(1)と(2)および(15)より λ を消去した式を連立させて x, y を求めることができる。すなはち、

$$\alpha x + \delta y = x + \lambda t \quad \leftarrow \quad (18)$$

$$(C x + (b + G') y = W' + G'(\alpha t - \lambda t) + \lambda t \quad \leftarrow \quad (19)$$

が求められる解式である。

なお、補剛されたトラスとして計算する場合、すなはち、補剛トラスの構材の変形の影響を考慮する場合には、(5)のもとを

$$\frac{t}{t} = \begin{bmatrix} 2(t_1+t_2) & t_2 \\ t_2 & 2(t_2+t_3) & t_3 \\ & \vdots & \vdots \\ t_{n-1} & 2(t_{n-1}+t_n) & t_n \end{bmatrix} + \begin{bmatrix} A_1+A_2 & -A_2 \\ -A_2 & A_2+A_3 & -A_3 \\ & \vdots & \vdots \\ -A_{n-1} & A_{n-1}+A_n & A_n \end{bmatrix} \quad \leftarrow \quad (20)$$

と変更すればよい。 $= z$

$$\alpha_i = \frac{1}{\lambda_i G A_i}$$

$G A_i$ ：補剛トラスの接算せん断剛性

である。

4. あとがき

初期形状状態から、直接に各架設段階状態を計算できるので、荷重漸増法を採らなくてよし。途中の累積誤差を含まない。

架設計算のみならず、完成後の活荷重載荷計算にも有効である。

大変形挙動とする構造物では、節点変位と部材変形の適合条件式は、十分に厳密なものでなければならぬが、本法では、反復計算において十分な収束性が得られるよう配慮された、解式は剛性マトリクスを構成するための Unit Equation と呼ぶ非線形材端力式を採り入れ、正確性を期している。

- 参考文献 1) 有限変形理論による骨組構造の解析（コンピュータによる構造工学講座Ⅱ-1-B 骨組構造解析 P63～P74 日本鋼構造協会編 1971）
2) 後藤茂夫，“有限変形法によるつり橋の解法”，土木学会論文集 156 (1968年8月)
3) 後藤茂夫，“有限変形法に関する2,3の考察”，土木学会論文集 163 (1969年3月)
4) 後藤茂夫他，“非線形有限変形法による骨組構造の大変形解析”（本講演集）
5) 後藤茂夫他，“意匠材発生に対するキャットウォークの解析”（本講演集）